

Dimyloides-Neufunde aus der oberoligozänen Spaltenfüllung „Ehrenstein 4“ (Süddeutschland) und die systematische Stellung der Dimyliden (Insectivora, Mammalia)

VON NORBERT SCHMIDT-KITTLER¹⁾

mit 10 Abbildungen und Tafel 5

Zusammenfassung

Aus der oberoligozänen Spaltenfüllung „Ehrenstein 4“ (Süddeutschland) wird *Dimyloides steblii* HÜRZELER anhand eines Schädelfragments, zweier Unterkieferreste und mehrerer Einzelzähne beschrieben. Sowohl an dem neuen Material als auch an älteren, bereits bekannten Funden werden Schädelmerkmale aufgezeigt, denen taxonomische Bedeutung zukommt. Sie betreffen insbesondere das Fehlen der Joehbögen, das weit nach vorn gerückte Ansatzfeld des Temporalismuskels und die Lage des Foramen lacrimale über dem Infraorbitalforamen. Gebißuntersuchungen führen außerdem zu einer Korrektur der Unterkieferzahnformel, indem der bisher als unterer Canin gedeutete Zahn als Prämolare interpretiert werden muß.

Trotz der unzweifelhaften Eigenständigkeit der Familie Dimylidae kommt ihr aufgrund der neuentdeckten Merkmale eine vermittelnde Rolle zwischen Talpiden und Soriciden zu, wobei die Entsprechungen zu den Talpiden gewichtiger sind. Die Existenz eines funktionellen Milchgebisses bei den Dimyliden wird, mangels Gemeinsamkeiten in den übrigen Punkten, nicht als Verwandtschaft zu den Erinaceiden angesehen. Entsprechend den neuen Merkmalen wird die Diagnose der Dimyliden erweitert und eine Einordnung der Familie in gegenwärtig vertretene Klassifikationssysteme der Insectivoren versucht.

Abstract

From the Upper Oligocene fissure filling „Ehrenstein 4“ (Southern Germany) *Dimyloides steblii* HÜRZELER is described by the aid of a skull fragment, two mandible fragments, and several isolated teeth. Based on the new material as well as on already known specimens skull features can firsttime be demonstrated, which characters are of particular taxonomic value. These are especially the lack of zygomatic arch, the temporal muscle extending far to the front, and the lacrimal foramen just above the infraorbital foramen. Moreover the tooth formula of the

¹⁾ Dr. NORBERT SCHMIDT-KITTLER, Institut für Paläontologie und historische Geologie der Universität, 8 München 2, Richard-Wagner-Straße 10.

mandible has to be corrected: The tooth formerly regarded as lower canine has to be interpreted as a premolar.

In spite of the undoubtedly taxonomic independence of the Dimylidae the new discovered features show that they have an intermediate position between talpids and soricids, although they have closer affinities to the talpids. Lacking affinities in other points the presence of a functional milk dentition in dimylids is not interpreted as relationship to the erinaceids. On the base of the new features, an extended diagnosis of the Dimylidae is given, and an integration of this family into present classifications is tried.

Inhalt

1.	Einleitung	116
2.	Das neue Material	117
2.1	Dimylidae SCHLOSSER 1888, Dimylinae WEGNER 1913 <i>Dimyloides</i> HÜRZELER 1944, <i>Dimyloides steblii</i> HÜRZELER 1944	117
2.2	Zur taxonomischen Zuordnung der Funde	124
3.	Die Merkmale der Dimyliden	125
3.1	Die Schädelmerkmale	125
3.2	Die Gebißmerkmale	130
3.2.1	Morphologische Vergleiche	130
3.2.2	Die Zahnformel des Unterkiefers	131
3.2.3	Das Milchgebiß	135
4.	Erweiterung der Diagnose der Dimyliden	135
5.	Zur systematischen Stellung der Dimyliden	135
	Literatur	138

1. Einleitung

Das hier zur Beschreibung vorliegende Dimyliden-Material entstammt der im Jahr 1971 entdeckten, oberoligozänen Spaltenfüllung Ehrenstein 4. Sie hat eine artreiche Fauna erbracht, die in zahlreichen Elementen gut mit der Tiervergesellschaftung von Coderet-Bransat übereinstimmt.

Den eigentlichen Anlaß zu einer eingehenderen Untersuchung gaben einzelne Merkmale, die an dem vollständigsten Beleg der Ehrensteiner Dimylidenfunde, einem gut erhaltenen Vorderschädel, nachweisbar waren. Und zwar vor allem deshalb, weil sie sich nicht mit den von neueren Autoren vermuteten engeren taxonomischen Beziehungen zwischen Dimyliden und Erinacciden in Einklang bringen ließen. Nachdem die Nachforschungen auf Typen, Originale und Belege der Gattungen *Dimyloides*, *Exoedaenodus*, *Plesiodymys*, *Cordylodon* und *Pseudocordylodon* ausgedehnt wurden, zeigte sich, daß die an den Ehrensteiner Funden zutage tretenden Merkmale fast ausnahmslos auch an bereits publiziertem Material erkennbar sind. Damit konnten die hier vorgelegten taxonomischen Ergebnisse auf eine relativ breite Basis gestellt werden.

Besonderer Dank gebührt in diesem Zusammenhang Herrn Dr. J. HÜRZELER, welcher mir die im Naturhistorischen Museum in Basel befindlichen Dimylidenreste zum Vergleich zugänglich machte. Desgleichen bin ich Herrn Dr. B. ENGESSER für die zuvorkommende Unterstützung meiner Arbeiten an dem nämlichen Museum sehr zu Dank verpflichtet.

Bei der Beschreibung des neuen Materials wurde die von A. MÜLLER (1967, Abb. 1—6) verwendete Terminologie der Zähne übernommen. Die einzige Abweichung betrifft die Bezeichnung des hinteren Innenhügels an den oberen Molaren (vgl. hierzu Punkt 3.2.1., S. 130). Sämtliche neuen Belege zu der vorliegenden Arbeit sind in der Bayerischen Staatssammlung für Paläontologie und historische Geologie unter der Hauptinventarnummer 1971 XXV aufbewahrt.

2. Das neue Material

2.1 Dimyliidae SCHLOSSER 1888

Dimylinae WEGNER 1913

Dimyloides HÜRZELER 1944

Dimyloides steblii HÜRZELER 1944

Vorderschädel (1971 XXV 96, Taf. 5, Fig. 1—3, Abb. 1a und 1b)

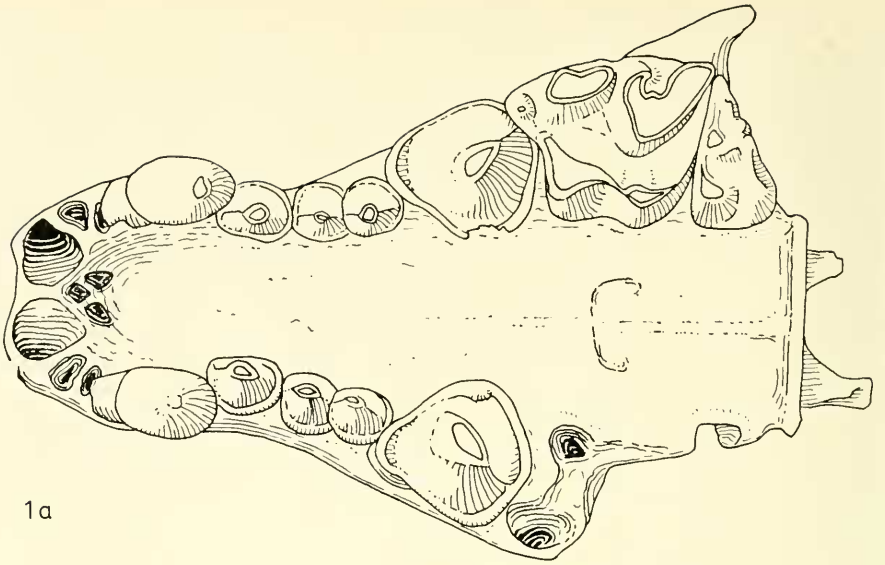
Der vollständigste Beleg ist ein Gesichtsschädel mit bis zur Mitte der Orbita-region reichender Knochenerhaltung. Die Bezahnung ist vollständig, ausgenommen die Incisiven und die beiden rechten Molaren.

Relativ zur Querausdehnung der Frontale-Region ist die Schnauzenpartie sehr kräftig entwickelt. Ihre geringste Breite hat sie im Bereich der P² und P³. Von dort aus verbreitert sie sich rasch zur Eckzahnregion hin. Davor verschmälert sie sich wiederum bis zur Nasenöffnung, wo ihre Kontur unvermittelt etwa in einem rechten Winkel in den etwas einwärts gebuchteten Nasenunterrand überleitet. Hinter der Einschnürung im P²-P³-Bereich divergieren die Maxillarränder gleichmäßig nach rückwärts. Auf der linken, vollständiger erhaltenen Seite des Schädelrests setzt sich dabei der Oberkiefer in gerader Erstreckung in den Processus maxillaris fort. Dieser endigt ein kurzes Stück hinter dem M² und ist an seinem freien Ende meißelförmig zugeschräpft. Ein Jochbogen ist nicht ausgebildet.

Der Nasenrücken ist im Querschnitt gleichmäßig gerundet. Von der Seite betrachtet geht er in gerader Linie in den Stirnbereich über. Dahinter, also in der Orbita-region, hat der zum Neurocranium überleitende Teil des Schädels walzenförmige Gestalt. Auf seinem Dach verläuft eine gut erkennbare Sagittalcrista, die sich nach vorn in zwei gleichmäßig gerundete Halbkreisbögen aufspaltet. Diese setzen sich auf jeder Seite bis in die das Infraorbitalforamen und das Foramen lacrimale trennende Knochenleiste fort. Die von den beiden Gratbögen und der Sagittalcrista begrenzten Areale bilden die Ansatzflächen des Temporalismuskels, der hiermit außerordentlich weit nach vorn auf den Stirnbereich gerückt ist.

Das Infraorbitalforamen ist ungefähr so groß wie bei den Soriciden und liegt über dem P⁴. Unmittelbar über dem Foramen infraorbitale und ein klein wenig nach hinten versetzt öffnet sich das Foramen lacrimale. Es hat liegend reiskornförmige Gestalt.

Der zwischen dem Processus maxillaris und der Schädelseitenwand gespannte Orbitaboden ist horizontal gestellt und mündet trichterförmig in die hintere Öffnung des Infraorbitalkanals ein. An dem hintersten noch erhaltenen Teil des Orbitabodens, unmittelbar an seinem Übergang in die Schädelseitenwand, befindet sich das Foramen sphenopalatinum. Es bildet eine kreisrunde Öffnung und ist oberhalb des M² gelegen.



1a

1b

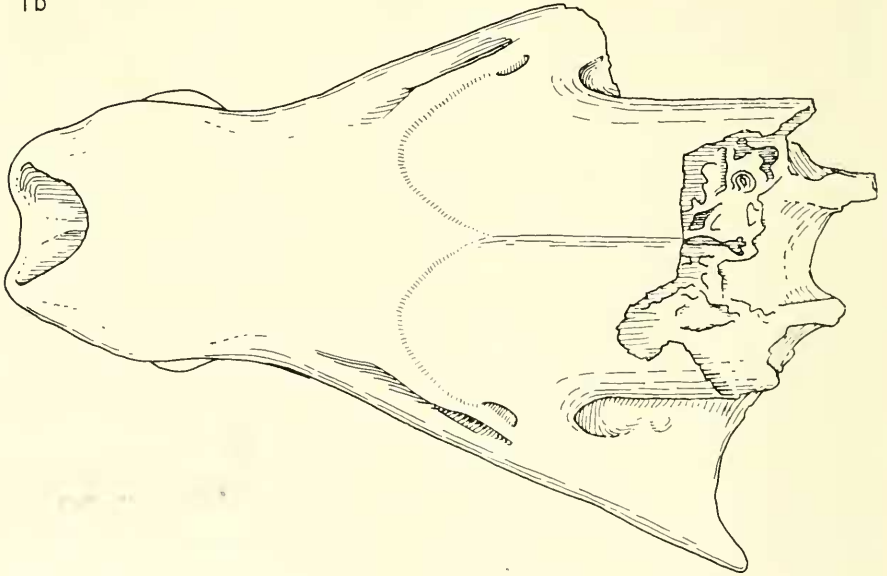


Abb. 1: Vorderschädel von *Dimyloides steblii* HÜRZELER aus der oberoligozänen Spaltenfüllung Ehrenstein 4, 1971 XXV 96. 1a: von occlusal gesehen, 1b: von oben gesehen. Der Jochbogen ist nicht abgebrochen, sondern fehlt primär. 8-fach vergrößert.

Der Hinterrand des Gaumendachs liegt unmittelbar hinter dem zweiten Molar und wird durch eine transversal verlaufende, kräftige Leiste verstärkt. Die Seitenwände der Choanenöffnung sind durch zwei nach hinten ragende Knochenzapfen gerade noch andeutungsweise erhalten. Die Gaumenplatte ist in Längsrichtung ein wenig nach oben, das heißt, zum Nasenrücken hin durchgebogen. Ungefähr im Bereich der P¹ ist sie am höchsten aufgewölbt und fällt dann zum Choanenrand deutlich ab. Diese Erscheinung findet in der ebenfalls ein wenig nach hinten unten abfallenden M¹-M²-Region und auch in dem nach rückwärts etwas herabgezogenen Maxillarfortsatz ihre Entsprechung. Vor den Caninen fällt das Gaumendach ebenfalls etwas ab, so daß die Alveolen der Schneidezähne nicht mit den Prämolarenalveolen in einer Ebene liegen. Am weitesten ragt die zwischen den beiden I¹ befindlichen Knochenwand aus der Ebene der Gaumenplatte heraus.

Das Intermaxillare hat unmittelbar hinter den beiden ersten Schneidezähnen drei kleine Öffnungen. Die vorderste davon liegt auf der Gaumenmittellinie. Die beiden anderen befinden sich dicht dahinter und sind paarig angeordnet. Sie entsprechen den Foramina incisiva. In Höhe der Mitte des M¹ sind zwei kleine Öffnungen zu erkennen, die den Foramina palatina majores entsprechen.

M¹: Dieser Zahn ist nur auf der linken Kieferseite erhalten. In seinem Umriss gleicht er *Dimyloides stehlini*. Die bereits weit fortgeschrittene Abkauung hat zahlreiche morphologische Details ausgemerzt, doch stimmt der Zahn in der noch erkennbaren Proportionierung der vier Haupthügel und der Gestalt der Vorder- und Hintersenke gut mit *Dimyloides stehlini* überein. Lediglich die relativ wohlerhaltene Parastylregion der Krone läßt noch Besonderheiten erkennen: Die Parastylknospe sendet in linguale Richtung einen kurzen, niedrigen Grat aus. Dieser nimmt nicht, wie das bei *Dimyloides stehlini* der Fall ist, Verbindung mit der vom Protoconus herkommenden Buccalkante auf, sondern endet blind. Der Buccalgrat des Protoconus setzt sich seinerseits in ein Vordercingulum fort, welches bis vor die Vorderseite des Parastyls zieht. Dort, wo sich die Protoconkante und das Vordercingulum treffen, bilden sie einen einspringenden Knick.

M²: Die Metastylhöcker des Zahnes und ein Teil der Hinterwand sind nicht erhalten. Die Krone zeigt den gleichen Abkauungsgrad wie der zuvor beschriebene M¹. Auch für den zweiten Molar ist weitgehende Übereinstimmung im Umriss und Zuschnitt der Höcker mit *Dimyloides stehlini* zu konstatieren. Details sind lediglich im Bereich des hinteren Innenhöckers und des Metaconus, die beide von der Usur verschont geblieben sind, sichtbar: Der Metaconus bildet keinen eigentlichen Höcker, sondern einen schwach gewinkelten Schmelzkamm. Der hintere Innenhügel hat die Gestalt eines niedrigen, vom Metacon durch eine Einkerbung gut abgesetzten kegelförmigen Höckers. Auf seinem Vorderabhang ist eine längsgerichtete Kante angedeutet. Sie tritt mit dem schwachen Innencingulum in Verbindung, welches das zwischen Protocon einerseits und dem Metacon und hinteren Innenhügel andererseits gelegene Quertal nach lingual abschließt.

P¹: Er ist flach kegelförmig und hat einen dreiseitigen, gut gerundeten Umriss. Die Ecken befinden sich an der Vorder-, Hinter- und Lingualseite der Krone. Um den ganzen Zahn läuft ein geschlossenes, schmales Cingulum. Von den drei Ecken ist die hintere weitaus am stärksten abgestumpft. Die vordere und linguale Ecke sind dadurch zu charakterisieren, daß das Cingulum an diesen Stellen lobusartig ausgebaucht ist. Während die Lingualecke eine schwach angedeutete Innenknospe trägt, entspricht der vorderen Ecke lediglich ein flacher, dem Vorderabhang des

Hauptkegels vorgelagerter Absatz. Der massige Haupthöcker selbst ist mit einer schmalen Hinterkante versehen. Dort, wo diese das Basalcingulum erreicht, zeigt die Hinterecke der Krone einen schwachen Knick.

P³: Der Zahn ist im Verhältnis zum P⁴ sehr klein und niedrig. Sein Umriss ist annähernd kreisrund. Um die Krone läuft ein Cingulum, das nur auf ihrer Vorderseite weitgehend verwischt ist. Der niedrige, kegelförmige Höcker des Zahnes besitzt je eine schwach ausgeprägte Vorder- und Hinterkante. Der vordere Teil der Krone ist etwas hochgezogen, so daß diese das Hinterende des vorderen Nachbarn ein wenig dachziegelartig überlappt. Der Zahn hat eine einzige, sehr kräftige Wurzel.

P²: Er gleicht in Größe und Ausbildung ganz dem P³.

P¹: Der erste Prämolare ist ebenso breit wie der P² und P³, aber diesen gegenüber merklich verlängert. Sein einziger, kegelförmiger Höcker ist außerdem etwas höher und mit ein wenig kräftigeren Vorder- und Hinterkanten versehen. Wie bei den P² und P³ läuft um die Krone ein Basalcingulum, das aber auf der Vorderseite nicht fehlt, sondern nur etwas schwächer entwickelt ist. Der Zahn hat zwei hintereinander sitzende, leicht abgespreizte Wurzeln. Sie sind in Längsrichtung des Kiefers ein wenig zusammengedrückt.

C sup.: Der Canin ist sehr massiv und hat eiförmige Kontur. Seine Hinterflanke ist dabei stärker gerundet als die Vorderseite und zudem mit einer Längskante versehen. Die Krone erreicht, wenn man die Abkautung mit in Rechnung stellt, den P⁴ an Höhe. Soweit der etwas korrodierte Schmelz noch erkennen läßt, besitzt der Zahn lediglich ein Schlußcingulum und ein sehr unscheinbares Vordercingulum. Die Krone ist mit zwei kräftigen, stark divergierenden Wurzeln im Kiefer verankert, wobei die hintere senkrecht eingepflanzt ist, die vordere dagegen weit nach vorn greift.

Die Incisiven sind nur durch ihre Alveolen repräsentiert. Bei dem I³ muß es sich, der Alveole nach zu schließen, um einen winzigen stiftförmigen Zahn handeln, der auf Kosten der Ausdehnung der Vorderwurzel des Eckzahns eine beträchtliche Reduktion erfahren hat. Der I² entspricht in seiner Größe dem zweiten Schneidezahn von *Exoedaenodus schaubi* HÜRZELER. Die beiden ersten Incisiven sind wie bei *Exoedaenodus* vergrößert, aber noch mehr zur Kiefermittellinie hin zusammeneignt.

Rechtes Oberkieferfragment (1971 XXV 95)

Dieses Belegstück zeigt Teile des Maxillare, Intermaxillare und der Orbitaregion in Knochenerhaltung. Der Kiefer besitzt noch P⁴-M² und den Eckzahn. Die übrigen Prämolaren und die Schneidezähne sind durch die Alveolen repräsentiert.

Die Hinterränder des Infraorbitalforamen und des Foramen lacrimale befinden sich genau über der Hinterwurzel des P⁴. Anders als bei dem zuvor beschriebenen Gesichtsschädel besitzt der Processus maxillaris über dem M¹ eine deutliche Längsdepression. Sein Hinterende ist abgebrochen. Vom Foramen lacrimale führt der Canalis nasolacimalis in horizontaler Richtung an der Innenwand des Maxillare nach vorn und mündet etwa über dem Vorderrand des P³ in die Nasenhöhle.

M¹: Er ist besser erhalten als der erste Molar des auf S. 117 beschriebenen Schädelrests. Das Parastyl ist mit dem Protoconus über einen geschlossenen Grat, der zugleich die vordere Begrenzung der Krone bildet, verbunden. Dahinter ist auf der Lingualseite des Parastyls noch ein weiterer, allerdings sehr kurzer Transversal-

grat entwickelt. Der hintere Innenhügel läßt keine Tendenz zur Höckerspaltung erkennen.

M²: Er gleicht dem M² von *Dimyloides stehlini*, hat aber hinter dem Paracon kein Außeringulum. Die Mesostylknospen sind nicht sehr hoch. Der Metaconus ist mehr höckerartig als gratförmig gestaltet. Der kleine hintere Innenhügel lehnt sich eng an die Lingualflanke des Metaconus an.

P⁴: Die vordere und linguale Ecke dieses Zahnes sind noch stärker betont als am P⁴ des anfangs beschriebenen Schädelfragments. Die Innenecke trägt ein kegelförmiges Höckerchen. An der Vorderecke ist das Basalcingulum ein wenig hochgezogen. Zwischen diesem und der Basis der Haupthügelvorderflanke verläuft ein kurzer Längsgrat.

C sup.: Er gleicht dem auf S. 120 charakterisierten Canin in allen Punkten.

Die Alveolen von P² und P³ lassen Eigenschaften der Wurzeln erkennen, die an dem Gesichtsschädel der Beobachtung entzogen sind: Bei beiden verläuft auf der lingualen Alveolenwand eine kräftige Vertikalrippe. Sie ist an der P²-Alveole noch stärker ausgebildet als beim P³ und zeugt von einer Tendenz der Wurzelspaltung.

Die Alveole des I³ erreicht nahezu die Größe der I²-Alveole.

Linker Unterkieferrest mit M₂ (1971 XXV 90)

Der Unterkieferkörper ist vom Ansatz des aufsteigenden Kieferasts bis zum Mentalforamen, das sich unter den M₁-Alveolen befindet, erhalten. Der M₂ hat relativ zu dem nur durch Einzelzähne belegten M₁ etwa die gleiche Größe wie der letzte Backenzahn von *Dimyloides stehlini* und *Exoedaenodus schaubi*, ist aber plumper. Das Talonid des vorliegenden Zahnes ist im Vergleich zu den genannten Arten noch etwas mehr verkleinert. Es wird durch eine weniger tiefe Furche vom Trigonid getrennt. In der kräftigen Ausbildung des Vordercingulums herrscht Übereinstimmung. Dagegen fehlt bei dem M₂ von Ehrenstein 4 jede Andeutung eines Schlußcingulums und einer Innenknospe an dessen lingualem Ende.

M₁ (1971 XXV 86, 87, 88, 89)

Hierzu liegen vier Einzelzähne vor, die in nur geringer Abwandlung die gleichen Merkmale zeigen und alle in den Variationsbereich von *Dimyloides stehlini* und *Exoedaenodus schaubi* fallen. Eine geringe Verschiedenheit liegt lediglich darin, daß alle vier M₁ von Ehrenstein 4 eine gut erkennbare, wenn auch kurze, auf das Protoconid gerichtete Paraconidhinterkante besitzen, ein Merkmal, das bei den beiden erwähnten Arten nur gelegentlich auftritt.

Linker Unterkiefer mit P₄ und P₁ (1971 XXV 94, Abb. 2a—c)

An dem Unterkieferrest sind der erste und vierte Prämolare, sowie die Alveolen der P₂ und P₃ des Eckzahns und der Incisiven erhalten.

P₄: Dieser Zahn hat einen nahezu rechteckigen Umriß, wobei nur die hintere Innenecke einen relativ scharfen rechten Winkel beschreibt und die übrigen Ecken gut gerundet sind. Innen- und Hinterrand der Krone sind gerade gestreckt, Vorder- und Außenseite dagegen ganz leicht nach außen gekrümmt. Die Spitze des einzigen, aber sehr massiven Höckers sitzt etwas vor der Kronenmitte und ist ganz an die Lingualwand gerückt. Der vordere und der buccale Abhang des Höckers sind gleichmäßig gewölbt. Der Hinterabhang fällt dagegen in seiner oberen Hälfte steil ab um dann, immer flacher werdend, auszulaufen. Rings um die Krone verläuft ein fast ge-

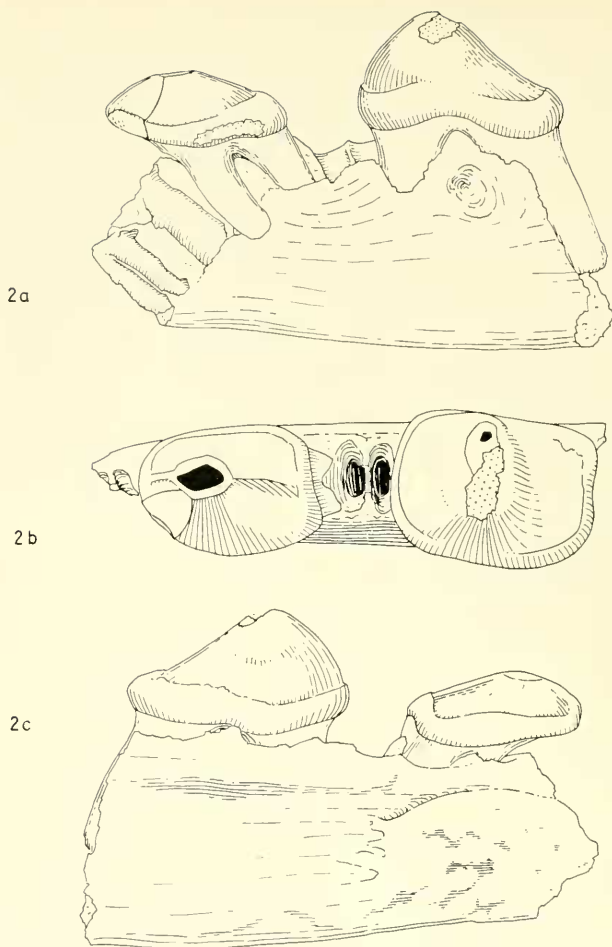


Abb. 2: Linkes Unterkieferfragment von *Dimyloides steblii* aus Ehrenstein 4 mit P_1 und P_4 und den Alveolen von P_2 , P_3 , C und den beiden Incisiven, 1971 XXV 94. 2a: von buccal, 2b: von occlusal, 2c: von lingual gesehen. 15-fach vergrößert.

schlossenes Basalcingulum. Auf der Vorder- und Lingualwand ist es sehr schmal, am Hinterrand dagegen relativ breit. Auf der Buccalseite der Krone fehlt es weitgehend. Der Zahn besitzt zwei kräftige Wurzeln, wovon die vordere senkrecht eingepflanzt und die rückwärtige etwas nach hinten abgespreizt ist. Insgesamt ist der P_4 des vorliegenden Unterkieferstücks robuster als der entsprechende Zahn bei *Dimyloides steblii*.

Vor dem P_4 folgen zwei dicht gedrängte, in Längsrichtung stark zusammengedrückte Alveolen für den P_3 und P_2 . Sie sind nur durch eine hauchdünne, zum größten Teil herausgebrochene Knochenlamelle von einander getrennt. Grundsätz-

lich wäre nicht auszuschließen, daß die beiden Alveolen einem zweiwurzeligen Zahn angehören. Die Entsprechungen zu *Dimyloides* und *Exoedaenodus* in den anderen Punkten sind aber so lückenlos, daß diese Möglichkeit nicht weiter diskutiert werden braucht.

P₁: Vor den beiden erwähnten Alveolen sitzt ein kräftiger, zweiwurzeliger Zahn, der bisher stets als Eckzahn interpretiert wurde (HÜRZELER 1944, S. 13), bei dem es sich aber in Wirklichkeit um den P₁ handeln muß (vgl. die Ausführungen auf S. 131).

Der Zahnumriß ist einem Oval vergleichbar, dessen Hinterseite gerade abgestutzt ist. Der einzige Höcker des Zahnes ist sehr niedrig, auch wenn man die Abkautung mit in Rechnung stellt. Er sitzt dem Vorderende der Krone genähert und bildet den Ausgangspunkt je eines schwachen vorderen und hinteren Längsgrates. Um den Zahn läuft ein geschlossenes Cingulum, das auf der Hinterseite relativ breit, im übrigen aber ziemlich schmal ist. Die Zahnkrone ragt fast um den halben Betrag ihrer Gesamtlänge über die Vorderwurzel hinaus.

Vor dem P₁ folgen drei halbseitig erhaltene Alveolen. Die unmittelbar vor dem ersten Prämolare befindliche von ihnen ist in Längsrichtung zusammengedrückt und mit 0,5 mm Länge und 0,7 mm Breite relativ groß. Es muß sich um die Eckzahnalveole handeln. Die beiden weiter vorn folgenden Alveolen sind ebenfalls ein wenig in Längsrichtung komprimiert und entsprechen zwei Schneidezähnen. Ein dritter war offenbar nicht vorhanden.

C inf. sin (1971 XXV 93)

Dieser Zahn gleicht dem von HÜRZELER (1944, Abb. 26) als I₃ bezeichneten Exemplar weitgehend. Die Krone ist noch etwas mehr in die Länge gezogen als dies auf HÜRZELERS Abbildung zu sehen ist. Auf der Spitze und der die Krone abschließenden Vorderkante sind zwei Abkautungsfacetten erkennbar.

Tabelle 1: Die Maße von *Dimyloides steblii* HÜRZELER aus Ehrenstein 4 (gemessen in mm).

	Inventar-Nr.	Breite	Länge
M ¹ dex	1971 XXV 81	2,5	3,35
M ¹ sin	82	2,45	3,3
P ⁴ dex	83	2,0	2,05
P ⁴ dex	84	1,8	1,85
C sup. sin	85	1,15	1,65
M ₁ sin	86	1,85	2,3
M ₁ dex	87	2,0	2,6
M ₁ sin	88	2,05	2,65
M ₁ dex	89	1,95	2,5
M ₂ sin	90	2,25	2,05
P ₃ sin	91	1,25	1,7
P ₃ sin	92	1,3	1,75
C inf. sin	93	1,05	1,55
linker Unterkiefer mit P ₄ und P ₁	94		
P ₄		1,5	2,1
P ₁		1,3	1,75
Länge P ₁ -P ₄			4,6

	Inventar-Nr.	Breite	Länge
rechter Oberkiefer mit P ¹ -M ² und C	1971 XXV 95		
M ²		2,3	1,3
M ¹		2,45	3,4
P ¹		1,95	2,05
C sup.		1,0	1,55
Länge M ² -C			9,8
Vorderschädel	96		
M ² sin		2,35	1,4
M ¹ sin		2,6	3,4
P ¹ sin		2,1	2,35
P ³ sin		0,9	0,9
P ² sin		0,9	0,85
P ¹ sin		0,9	1,15
C sup. sin		1,05	1,55
P ¹ dex		2,05	2,3
P ³ dex		0,95	0,95
P ² dex		0,9	0,9
P ¹ dex		0,9	1,15
C sup. dex		1,0	1,6
Länge M ² sin-C sup. sin			10,3
Länge des Gaumendachs vom Vorderrand der Schneidezahnalveolen bis zur Choanenöffnung			12,4
Breite der Schnauze über den Eckzähnen		4,1	
Breite der Schnauze über den P ²		3,7	
Höhe der Schnauze über den P ³			3,0
Breite des Gehirnschädels in der Orbitaregion (hinter dem Infraorbitalkanal)		4,7	

2.2 Zur taxonomischen Zuordnung der Funde

Das beschriebene Material von Ehrenstein 4 schließt sich sowohl in den Abmessungen als auch in der kräftigen Entwicklung der oberen und unteren vierten Prämolaren, der deutlichen Exoedaenodontie des M₁ und dem Fehlen eines rudimentären M₃ eng an *Dimyloides stebli* HÜRZELER an. In der Ausbildung der Unterkieferprämolaren zeigen sich dieser Art gegenüber jedoch Unterschiede: So ist der P₄ des von Ehrenstein 4 belegten Mandibelstücks (Abb. 2a—c) merklich kräftiger als der entsprechende Zahn des Holotypus von Boudry. Damit in Zusammenhang stehend sind die P₂ und P₃ enger aneinandergedrängt.

Diese Abweichungen sind Ausdruck einer noch etwas weiter gehenden „dimylyden“ Spezialisierung als sie bei dem Unterkiefer von *Dimyloides stebli* aus Boudry zu beobachten ist und insofern gradueller Natur. Da diese Unterschiede zwischen Boudry und Ehrenstein 4 aber für beide Fundpunkte nur an je einem einzigen Unterkiefer belegt sind, ist nicht auszumachen, ob sie die natürliche Variabilität überschreiten, und es sich damit um echte Populationsunterschiede handelt oder nicht. Im ersten Fall wäre die Abtrennung einer eigenen Unterart gerechtfertigt. Bis zu einer Klärung durch weiteres Material wird jedoch der zweite Fall als der wahrscheinlichere angenommen, weshalb die Ehrensteiner Funde hier als *Dimyloides stebli* bestimmt werden.

3. Die Merkmale der Dimyliden

3.1 Schädelmerkmale

3.1.1 Postorbitalschädel

Informationen über die Ausbildung des postorbitalen Schädelteils sind nur von dem Schädelfragment von Ehrenstein 4 zu erhalten und betreffen auch an diesem nur den allervordersten Bereich (etwa bis zur Grenze Frontale-Parietale). Dieser Schädelabschnitt war primär etwas vollständiger erhalten als Taf. 5, Fig. 1—3 zeigen. Das ist aus den Zeichnungen Abb. 1a u. b ersichtlich, die noch vor der notwendigen Präparation des Schädels angefertigt wurden.

Der postorbitale Schädelabschnitt hat parallele Seitenwände und ist insgesamt röhrenförmig gestaltet. Dieses Merkmal findet sich innerhalb der Insectivoren bei verschiedenen Gruppen, wie den Tenreciden, Soriciden, Talpiden, Nesophontiden, ist aber den Erinaceiden fremd. Eine postorbitale Einschnürung ist an dem Schädelrest von Ehrenstein 4 nicht sichtbar. Damit zeigen die Dimyliden auch in diesem Punkt Entsprechungen zu den genannten Gruppen mit Ausnahme der Erinaceiden. Bei den letzteren ist außerdem in einigen Gattungen ein Postorbitalfortsatz schwach ausgeprägt. SABAN (1958) und BUTLER (1956, S. 474 f) hielten diese Merkmale für so bedeutend, daß sie sie zur Charakterisierung der Erinaceomorpha gegenüber den Soricomorpha mit heranzogen.

3.1.2 Gesichtsschädel

Wie der Holotyp von *Plesiodimylus chantrei* GAILLARD (GAILLARD 1899, Abb. 21, A. MÜLLER 1967, Abb. 9), der Gesichtsschädel von *Pseudocordylodon vireti* HÜRZELER (Orig. HÜRZELER 1944, Abb. 36) und der vorliegende Schädelrest von

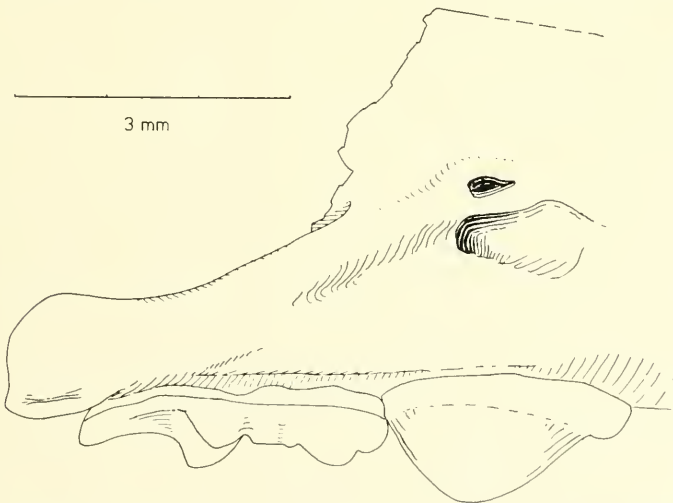


Abb. 3: Seitenansicht (Teilansicht) des Gesichtsschädels von *Pseudocordylodon vireti* HÜRZELER aus Saulcet, Museum Basel Sau. 740. Die Abbildung zeigt die freie Endigung des Maxillarfortsatzes. Der Jochbogen fehlt primär.

Dimyloides steblii zeigen, besaßen die Dimylyden eine relativ kurze und massige Schnauze mit zumeist sehr deutlicher Einschnürung zwischen Canin und P¹. Der massive Bau des Schnauzenteils muß wohl in direktem Zusammenhang mit der kräftigen Entwicklung des Gebisses gesehen werden, die eine charakteristische Spezialisierung der Dimylyden darstellt. SABAN (1958) betrachtete die gedrungene Ausbildung des Gesichtsschädels als ein besonderes Merkmal der Erinaceomorphen zur Unterscheidung gegenüber den durch eine langgezogene Schnauze ausgezeichneten Soricomorphen. Gleichviel, welche Bedeutung man diesem Kriterium zumißt, für die Dimylyden liegt sein funktionsbedingter Charakter auf der Hand.

3.1.3 Die Jochbogenregion

Die Jochbogenregion ist nicht nur an dem auf S. 117 beschriebenen *Dimyloides*-Schädelfragment (Taf. 5, Fig. 1—3, Abb. 1a u. b) erhalten, sondern ebenfalls an mehreren älteren, durch die Literatur bereits bekannten Fundstücken überliefert. Das gilt z. B. für eine Maxilla von *Pseudocordylodon vireti*, deren Bezahnung von HÜRZELER (1944, Abb. 36) abgebildet wurde, sowie einen Schädelrest der gleichen Art (Beleg HÜRZELER S. 26), der unter der Nummer Sau 740 im Baseler Museum aufbewahrt ist. Gleiches trifft auch für zwei Oberkieferreste von *Cordylodon intercedens* MÜLLER (Orig. A. MÜLLER Taf. 3, Fig. 3, Samml. München 1937 II 10 353; Beleg A. MÜLLER 1967, Samml. München 1937 II 10 386) und für ein Maxillarfragment der Gattung *Plesiodimylylus chantrei* (Beleg A. MÜLLER 1967, Samml. München 1965 I 144) zu. Die Stücke zeigen bei genauerer Betrachtung, daß der Jochbogen nicht etwa abgebrochen ist, sondern daß ein solcher gar nicht existiert. Statt seiner ist lediglich ein je nach Gattung etwas unterschiedlich geformter, frei endigender Maxillarfortsatz vorhanden (vgl. Abb. 1 und 3—6). Daß es sich hierbei wirklich um eine natürliche Endigung handelt, ist am Beispiel von *Cordylodon intercedens* (Samml. München 1937 II 10 386) durch eine Stereoscan-Aufnahme belegt (Abb. 6). Nachdem das Fehlen eines geschlossenen Jochbogens bei nicht weniger als vier Dimylylidengattungen nachweisbar ist, wovon zwei der Subfamilie Cordylodontinae und zwei der Subfamilie Dimylylinae angehören, darf dieses Merkmal für die ganze Familie als bezeichnend gelten.

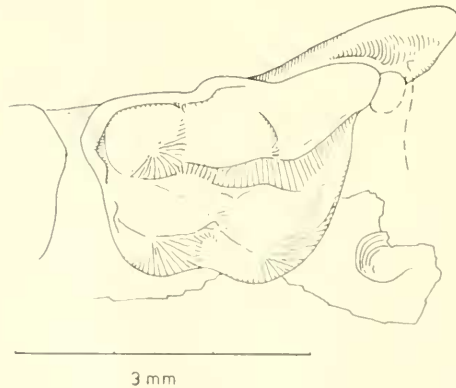


Abb. 4: Linkes Oberkieferfragment von *Plesiodimylylus chantrei* GAILLARD aus La Grive-St.-Alban, 1965 I 144, von occlusal gesehen (Teilansicht) mit dem freien Ende des Maxillarfortsatzes.

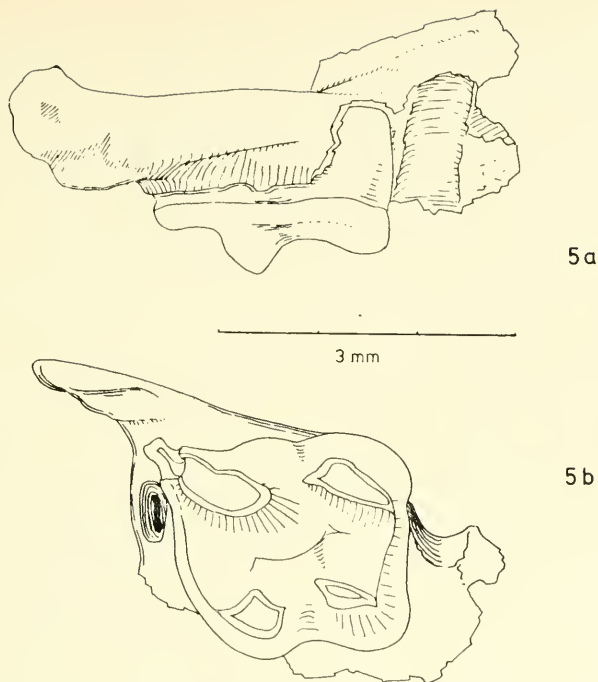


Abb. 5: Rechtes Oberkieferfragment von *Cordylodon intercedens* MÜLLER aus Wintershof-West, 1937 II 10386 von occlusal gesehen mit der freien Endigung des Maxillarfortsatzes. Siehe auch die Stereoscan-Aufnahme in Abb. 6.

Es handelt sich hier um ein Kriterium, welches bei mehreren Insectivorengruppen auftritt, wobei ihm in der Literatur verschieden große Bedeutung zugemessen wird. SABAN (1958), BUTLER (1956, 1972) und McDOWELL (1958) betrachten die Ausbildung der Jochbogenregion als eines der Hauptkriterien um die Soricomorpha (mit unvollständigem Jochbogen) und Erinaceomorpha (mit vollständigem Jochbogen) voneinander zu trennen. In den Klassifikationen von SIMPSON (1945), VAN VALEN (1967) und THENIUS (1969) wird die Beschaffenheit der Jochbogenregion weniger stark bewertet. In ihren Gliederungen erhält dieses Merkmal deshalb erst auf bzw. unterhalb der Ebene der Superfamilien Gewicht.

3.1.4 Die Ansatzfläche des Temporalismuskels

Wie bereits im beschreibenden Teil auf S. 117 ausgeführt wurde, besitzt der Schädelrest von Ehrenstein 4 eine schwache Sagittalcrista, welche sich auf dem Schädeldach weit nach vorn zum Schnauzenbereich, nämlich bis über die Infraorbitalforamen erstreckt. Dort gabelt sie sich in zwei Halbkreisbögen (Taf. 5, Fig. 3 und Abb. 1b). Dasselbe Merkmal zeigen der von GAILLARD (1899, Abb. 21) wiedergegebene Holotypus zu *Plesiodimylus chantrei* und der Gesichtsschädel von *Pseudocordylodon vireti* (Orig. HÜRZELER 1944 Abb. 36). Weiterhin ist ein Teilstück der

Gratbogenstruktur an einem Maxillastück von *Exoedaenodus schaubi* (Orig. A. MÜLLER 1967, Taf. 1, Fig. 1) erhalten.

Es kann kein Zweifel darüber bestehen, daß es sich bei dieser Gratstruktur um die obere bzw. vordere Begrenzung des Temporalismuskels handelt. Gleichzeitig ist aber zu bemerken, daß dieser Muskel auf dem Schädeldach extrem weit vorn ansetzt, noch mehr als es bei verschiedenen Talpidengattungen der Fall ist. Durch den weit vorgerückten Temporalismuskel muß eine deutliche Reduktion der Augapfelgröße und zugleich ein nach vorn verlagertes Auge auch für die Dimyliden angenommen werden. BUTLER (1956, S. 474) wertet solche Merkmale als Kriterien der Soricomorphen und stellt ihnen die in dieser Hinsicht weit weniger extremen Erinaceomorphen gegenüber.

3.1.5 Die Rüsselmuskulatur

Der Rüsselheber (*Musculus levator labii superioris proprius*) ist bei verschiedenen Insectivorengruppen z. T. so kräftig ausgebildet, daß er deutliche und scharf begrenzte Eindrücke auf dem Nasenrücken hinterläßt. Das ist z. B. bei Soriciden und Talpiden aber auch Tenreciden der Fall. An dem Schädelrest von *Dimyloides stehlini* scheint dem Ansatzfeld des Rüsselhebers eine flache Depression vor dem Foramen infraorbitale zu entsprechen. Bei dem Gesichtsschädel von *Pseudocordylodon vireti* ist diese Einsenkung noch deutlicher.

3.1.6 Foramen infraorbitale und Foramen lacrimale

Das Infraorbitalforamen liegt über dem P⁴ und ist im Verhältnis größer als bei den Erinaceiden. Das Foramen lacrimale befindet sich unmittelbar über dem Infraorbitalforamen und wird von diesem nur durch eine schmale Knochenspanne getrennt (vgl. Abb. 1b und Taf. 5, Fig. 2 u. 3). Vom Foramen lacrimale ausgehend, führt der Canalis nasolacimalis in horizontaler Erstreckung bis etwa über den P³, wo er in die Nasenhöhle einmündet. Bei den Erinaceiden liegt das Foramen lacrimale nicht über dem Infraorbitalforamen, sondern weiter hinten, auf dem Vorderrand der Orbita. Bei den Soriciden befindet es sich unmittelbar hinter dem Foramen infraorbitale, und der Canalis nasolacimalis führt in einem Bogen über dieses hinweg nach vorn. Demgegenüber liegen bei den Talpiden beide Foramen übereinander, wie dies auch für die Dimyliden typisch ist, sind aber weit nach hinten bis über den M² gerückt. Der bei den Dimyliden relativ lange Infraorbitalkanal kommt dabei in der Regel bis auf ein kleines Tor zum Verschwinden. Verglichen mit den bei den Erinaceoidea und Soricoida anzutreffenden Verhältnissen sind die Dimyliden in dieser Hinsicht ziemlich eigenständig organisiert.

3.1.7 Das Gaumendach

Die Merkmale des Gaumendachs konnten an dem *Dimyloides*-Schädelrest von Ehrenstein 4 dem Gesichtsschädel von *Pseudocordylodon vireti* aus Saulcet (Orig. HÜRZELER 1944, Abb. 36) und z. T. auch an einem Maxillarfragment von *Exoedaenodus schaubi* aus Gaimersheim (Orig. A. MÜLLER 1967, Taf. 1, Fig. 1) studiert werden. Hier zeigen sich wiederum Anklänge an die Talpiden. Sie betreffen die Intermaxillarregion, wo unmittelbar vor den Foramina incisiva eine weitere, in der Medianlinie gelegene Öffnung erscheint. Sie ist bei *Dimyloides* und *Exoedaenodus* ungefähr so groß wie die Incisivforamen, bei *Pseudocordylodon* jedoch sehr klein und fast geschlossen.

Der Palatinumhinterrand schließt mit einer gerade gestreckten, transversalen Randleiste ab, die sich bei Insectivoren sehr verbreitet findet (Soricoida, Erinaceoida aber nicht Tenrecoidea, vgl. McDOWELL 1958 Abb. 31 u. 32). Von dem Ansatz der Pterygoidwände ist nur wenig erhalten. Dennoch sind klare Unterschiede gegenüber den Erinaceiden zu bemerken, bei denen am Palatinumhinterrand nicht nur die die Choanenöffnung abgrenzenden Längswände ansetzen, sondern außerdem die sehr kräftigen Pterygoidflügel.

3.1.8 Das Foramen sphenopalatinum

Es ist nur an dem Ehrensteiner Schädelrest erhalten. Dort hat es einen relativ großen Durchmesser und liegt an der Grenze zwischen Orbitaboden und seitlicher Orbitawand über dem M^2 . Seine Lage und Größe macht wahrscheinlich, daß es mit dem Foramen opticum verschmolzen ist, wie bei den Soriciden und Talpiden (im Gegensatz zu den Erinaceiden). Dadurch, daß bei *Dimyloides steblii* das Foramen sphenopalatinum so tief und dem Palatinumhinterrand so sehr genähert liegt,



Abb. 6: Stereoscan-Aufnahme der freien Endigung des Maxillarfortsatzes von *Cordylodon intercedens* MÜLLER aus Wintershof-West, 1937 II 10386. Die Aufnahme zeigt die schneidenartige freie Endigung des Maxillarfortsatzes genau von hinten. 110-fach vergrößert.

werden die Choanenwände an ihrem Ansatz an der hinteren Randleiste des Gaumendachs durchbrochen, so daß sie mit dieser nur über zwei dünne Stege verbunden sind. Bei den Talpiden ist diese Konstellation noch deutlicher ausgeprägt.

3.2 Die Gebißmerkmale

3.2.1 Morphologische Vergleiche

Entsprechungen in der Gebißausbildung der Dimyliden wurden in der bisherigen Literatur einerseits zu Talpiden andererseits zu den Erinaceiden konstatiert. Gewisse Ähnlichkeiten mit Erinaceiden finden sich vor allem im Umriss des M^1 und in der kräftigen Entwicklung des hinteren Innenhügels an diesem Zahn, außerdem in der leicht exoedaenodonten Vergrößerung des M_1 und in der weit vorangeschrittenen Reduktion des M_3 . Die bei den Dimyliden einspitzigen vierten Prämolaren weisen dagegen bei den Erinaceiden drei Spitzen auf und sind damit recht unterschiedlich gebaut.

Der M^1 insbesondere der weniger spezialisierten Gattungen der Dimyliden (*Dimylus*, *Dimyloides*, *Pseudocordylodon*) zeigt aber auch Beziehungen zu den Talpiden. Und zwar durch den Besitz zweier Mesostylhöcker. Bei *Dimyloides* kann darüber hinaus die beginnende Spaltung der beiden Innenhügel in je zwei Spitzen beobachtet werden (z. B. an dem Original zu A. MÜLLER 1967, Taf. 1, Fig. 6), eine Erscheinung die auch bei *Mygatalpa* auftritt (vgl. HUGUENEY 1972, Abb. 10). Der P^1 der relativ gering spezialisierten Gattung *Dimylus* gleicht ebenfalls vielen Talpiden, indem sein einziger Höcker nur einen Hintergrat aufweist und die Krone auf der Hinter- und Lingualflanke (und weniger ausgeprägt auch auf der Vorderseite) je eine mehr oder weniger verstärkte Knospe oder Ausbuchtung besitzt. Besonders deutlich sind die Übereinstimmungen mit dem P^1 von *Mygatalpa* und *Paratalpa* (vgl. HUGUENEY 1972 Abb. 10 und 26). Auch die zweiwurzeligen oberen Caninen sind im Prinzip mit verschiedenen Talpiden gut vergleichbar (*Talpa*, *Paratalpa*). Die M_1 von *Dimyloides* und *Exoedaenodus* zeigen sich zwar durch die exoedaenodonte Entwicklung des Talonids und die fortgeschrittene Reduktion des Trigonids sehr eigenwillig spezialisiert, lassen aber noch den für die Talpiden sehr charakteristischen akzessorischen Lingualhöcker erkennen, der das Schlußcingulum an der hinteren Innenecke abschließt.

Auf der Basis der bisher bekannten Merkmale allein fällt es schwer, signifikante Hinweise für die Zugehörigkeit der Dimyliden entweder zu der einen oder der anderen der beiden diskutierten Familien herauszulesen. Abgesehen von den in Punkt 3.1 besprochenen Schädelmerkmalen, die einen engeren Zusammenhang mit Erinaceiden ausschließen, hat sich nun eine Lösung des Problems auch dadurch eingestellt, daß die Gebißuntersuchungen anlässlich der vorliegenden Arbeit zu einer Neuinterpretation der Unterkieferzahnformel geführt haben. Und zwar insofern, als der bisher stets als C inf. angesehene zweiwurzelige Zahn als vorderster Prämolare aufgefaßt werden muß (vgl. Darstellungen im folgenden Unterpunkt). Damit offenbaren sich im Unterkiefergebiß neue Gemeinsamkeiten mit Talpiden: So ist der vorderste Prämolare des Unterkiefers auch bei verschiedenen Talpidengattungen (z. B. *Geotrypus*, *Mygatalpa*, *Talpa*) zweiwurzelig und kräftiger und höher als der einwurzelige C bzw. die beiden nachfolgenden Prämolaren.

Damit wird von neuem die Frage aktuell, ob der hintere Innenhügel des M^1

der Dimyliden als Hypoconus, wie bei den Erinaceiden, oder als Metaconulus, entsprechend den Talpiden, anzusehen sei: Sie muß zugunsten der Interpretation dieses Höckers als Metaconulus entschieden werden. Das kann um so mehr einleuchten, als auch bei der Gattung *Mygatalpa* der Metaconulus die Rolle eines Pseudypoconus übernommen hat (vgl. HUGUENEY 1972, Abb. 9 und 10).

3.2.2 Die Zahnformel des Unterkiefers

Bisher wurde der kräftige zweiwurzelige Zahn im Vordergebiß der Dimyliden — bei *Dimyloides* ist es der vierte Antemolar von den Molaren her gerechnet — als C inf. interpretiert. Insbesondere hat sich HÜRZELER um die Homologisierung dieses Zahnes bemüht und ihn als Canin angesprochen. Er begründete seine Interpretation damit, daß dieser Zahn bei *Plesiodimylus chantrci* „bei geschlossenem Gebiß vor dem fünften maxillaren Antemolaren in die Oberkieferreihe“ eingreife (1944, S. 13), also vor dem oberen Eckzahn. Die vorliegenden Untersuchungen an *Dimyloides*, *Plesiodimylus*, *Cordylodon* und *Pseudocordylodon* führen demgegenüber zu einem abweichenden Ergebnis:

Im Vordergebiß der Dimyliden erfahren vier Zähne eine von der Funktion her bedingte Vergrößerung. Es sind dies im Oberkiefer der P⁴ und der Canin und im Unterkiefer der P₄ und der in Rede stehende, bisher als unterer Eckzahn angesprochene Zahn, der hier zunächst provisorisch „vorderer Antemolar“ genannt werden soll. Der Abstand des C sup. vom P⁴ im Oberkiefer ist bei allen untersuchten Formen größer als der Abstand zwischen dem besagten „vorderen Antemolar“ und dem P₄ im Unterkiefer. Bei den stärker spezialisierten Gattungen ist deutlich zu erkennen, daß die vier vergrößerten Zähne des Vordergebisses in funktioneller Hinsicht mit einander korrespondieren. Und zwar usiert der „vordere Antemolar“ des Unterkiefers mit seiner vorderen Außenflanke die hintere Innenseite des oberen Eckzahns. Der untere P₄ usiert mit seiner hinteren Außenflanke die Vorderseite des oberen P⁴. Diese Konstellation der vier Zähne zeigt einen recht eindeutigen Zusammenhang zu einer knackenden Gebißfunktion, die für die Dimyliden auch alenthalben angenommen wird. Das Eingreifen des unteren P₄ in die Lücke zwischen oberem P⁴ und M¹ entspricht zudem der bei den Säugern normalerweise anzutreffenden Situation.

HÜRZELER (1944 S. 14) ging sehr zutreffend von dem Standpunkt aus, daß der vor dem oberen Canin eingreifende Zahn, wie dies bei den Säugern der Fall zu sein pflegt, der C inf., der hinter diesem eingreifende dagegen ein Prämolare sein müsse. Ihm lagen aber für diese Untersuchung nur sehr unvollständige Kieferreste vor. So ermittelte er die Gebißokklusion bei einer Gattung (*Plesiodimylus*), bei welcher die Korrespondenzfunktion von oberen und unteren Vorderzähnen am wenigsten deutlich ist, weil die den Dimyliden eigene Spezialisierung gerade bei dieser Form am wenigsten ausgeprägt ist. Dadurch kam er zu der Annahme einer Okklusionsstellung des Gebisses, die den tatsächlichen Gegebenheiten nicht entspricht. Stellt man nämlich die von HÜRZELER angegebene Gebißokklusion her, so daß der besagte untere Antemolar vor dem oberen Eckzahn eingreift, dann kommt der obere M¹ auf den unteren M₂ zu liegen. Damit hat der obere M² keinen Antipoden mehr und die unzweifelhaft vom unteren M₂ stammenden Abkautungsspuren am M² können auf diese Weise gar nicht erzeugt werden. Auch der untere P₄ wird in diesem Fall so weit nach vorn gerückt, daß er nicht mehr die Vorderseite des oberen P⁴ abnutzen kann. Das einzig denkbare Zusammenwirken von Ober- und Unterkiefer-

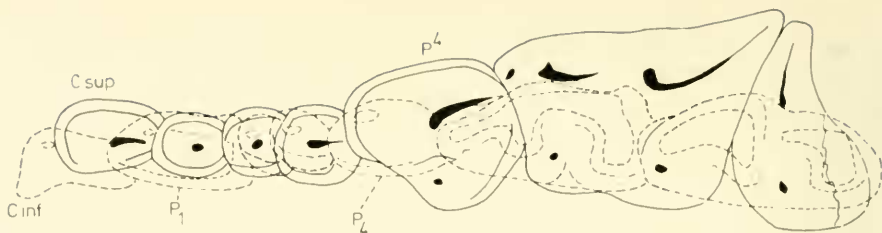


Abb. 7: Gebißokklusion von *Plesiodimylus chantrei* GAILLARD. Sie zeigt die einzige Möglichkeit des Ineinandergreifens von Ober- und Unterkieferzähnen bei geschlossenem Gebiß. Der von HÜRZELER (1944, S. 13) als unterer Canin (C inf.) angesprochene Zahn wird hier als erster Prämolar (P_1) interpretiert. Die Oberkieferzähne (durchgezogene Linien) sind nach A. MÜLLER 1967, Abb. 9, die Unterkieferzähne (gestrichelte Linien) sind nach A. MÜLLER 1967, Abb. 10, in gleichem Maßstab umgezeichnet. 13-fach vergrößert.

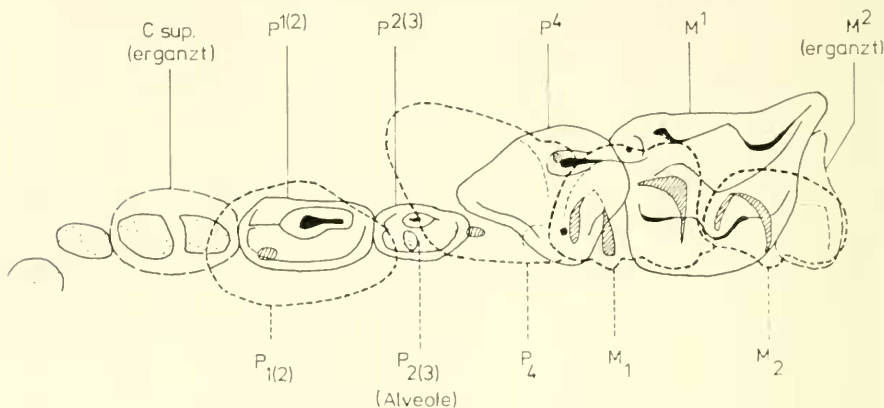


Abb. 8: Gebißokklusion von *Cordylodon intercedens* MÜLLER. Sie zeigt die einzige Möglichkeit des Ineinandergreifens von Ober- und Unterkieferzähnen bei geschlossenem Gebiß. Die Oberkieferzähne (durchgezogene Linien) sind nach A. MÜLLER 1967, Taf. 3, Fig. 3, die Unterkieferzähne (gestrichelte Linien) sind nach A. MÜLLER 1967, Taf. 3, Fig. 1a, in gleichem Maßstab umgezeichnet. Den Alveolen entsprechen punktierte Flächen. 11-fach vergrößert.

zahnreihe bei *Plesiodimylus chantrei* ist in Abb. 7 wiedergegeben. Noch klarer sind die Verhältnisse bei den Gattungen *Cordylodon* und *Dimyloides* (vgl. Abb. 8 u. 10) zu erkennen. Hier wird durch die erhebliche Vergrößerung der vier in Rede stehenden Zähne des Vordergebisses eine Konstellation erzeugt, die in noch viel ausgeprägterem Maß nur eine einzige Okklusionsstellung als möglich zuläßt. Auch hier tritt die Hinterfläche des unteren P_4 mit der Vorderseite des oberen P^1 in Kontakt und die Vorderseite des unteren „vorderen Antemolaren“ mit der Hinterflanke des oberen Eckzahns, was sich ebenfalls in den verschiedenen Usurstellen niederschlägt.

Es kann also kein Zweifel darüber bestehen, daß der vergrößerte, zweiwurzelige „vordere Antemolar“ des Unterkiefers nicht vor, sondern hinter dem C. sup. in

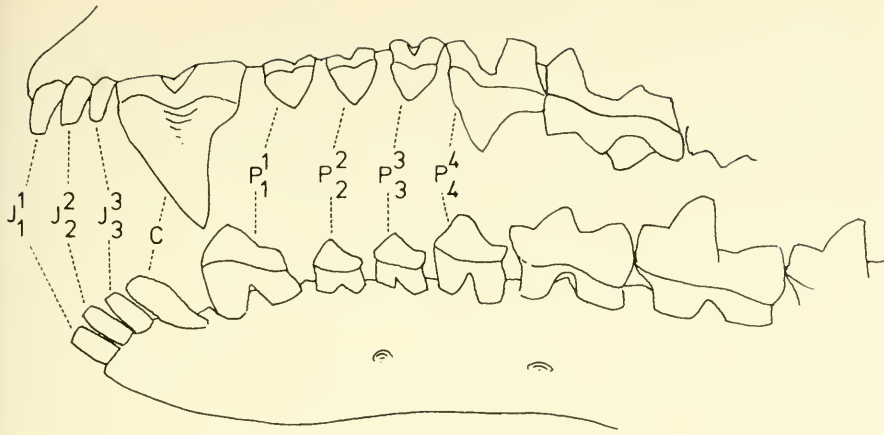


Abb. 9: Das Vordergebiss von *Talpa europaea* LINNAEUS in der Seitenansicht. 9-fach vergrößert.

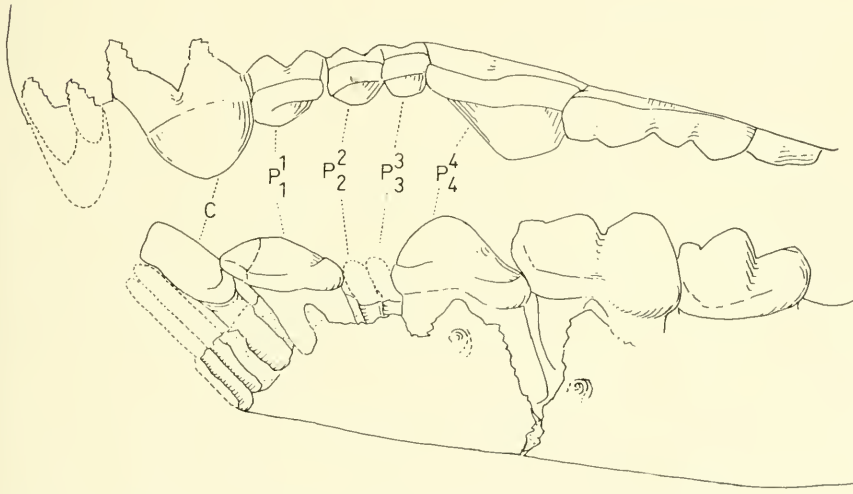


Abb. 10: Das Gebiss von *Dimyloides steblii* HÜRZELER. — Die Oberkieferbeziehung ist die des Schädelfragments 1971 XXV 96 (vgl. Abb. 1a und Taf. 5, Fig. 1). Die Unterkieferbeziehung wurde durch die Kombination von zwei Mandibelfragmenten und zwei Einzelzähnen von Ehrenstein 4 rekonstruiert: es sind der linke Unterkieferrest mit P₁ und P₄ 1971 XXV 94 (vgl. Abb. 2), das linke Unterkieferfragment mit M₂ 1971 XXV 90, der linke M₁ 1971 XXV 86 und der linke untere Eckzahn 1971 XXV 93. 9-fach vergrößert.

den Oberkiefer eingreift und daß es sich bei ihm somit um einen Prämolaren handeln muß. Im Fall von *Dimylus*, *Plesiodimylus*, *Dimyloides* und *Exoedaenodus*, die demnach ein vollständiges Prämolarengebiss besitzen, ist es der P₁. Bei *Cordylodon*,

Metacordylodon und *Pseudocordylodon* könnte es auch ein P_2 sein. Mit größerer Wahrscheinlichkeit ist er aber dem ersten Prämolare der Dimylinae homolog.

Der von HÜRZELER als I_4 angesprochene Zahn greift, wie die Abbildungen 7, 8 und 10 zeigen und wie sich aus den vorangegangenen Ausführungen ergibt, vor dem C sup. in den Oberkiefer ein und muß somit als C. inf. gedeutet werden. Damit ist allen Dimylyden der primäre Verlust eines Incisiven gemeinsam und nicht des P_1 , wie HÜRZELER (1944, S. 38) angenommen hat. Bei *Cordylodon* und *Metacordylodon* geht außerdem noch ein zweiter Schneidezahn verloren.

Demgemäß lautet die Gebißformel der Dimylinae:

$$\frac{3 \quad 1 \quad 4 \quad 2}{2 \quad 1 \quad 4 \quad 3-2}$$

und die der Cordylodontinae:

$$\frac{3-2 \quad 1 \quad 3 \quad 2}{2-1 \quad 1 \quad 3-2 \quad 2}$$

Eine Konsequenz der Korrektur der Unterkieferzahnformel ist die zutage tretende und auch bereits in anderen Punkten der Gebißmorphologie deutlich gewordene Beziehung zu Vertretern der Talpidae. Auch bei ihnen ist der P_1 verschiedentlich ein vergrößerter, zweiwurzelliger Zahn (z. B. *Mygatalpa*, *Geotrypus*, *Talpa*).

Legt man ein Gebiß, wie es *Talpa* oder *Mygatalpa* besitzen, als Ausgangspunkt der Dimylyden-Entwicklung zugrunde, so kann man die Bezahnung aller Dimylydengattungen durch Reduktionserscheinungen entstanden denken, die durch die funktionsbedingte Vergrößerung bestimmter Zähne des Gebisses mit Notwendigkeit auftreten müssen. So werden als Kompensation der Größenzunahme von M_1 , P_1 und P_4 bei unveränderten Abmessungen des Unterkieferkörpers Rückbildungen an anderen Zähnen erzwungen. Und zwar zunächst die Verkleinerung des letzten Molaren (*Exoedaenodus*) und schließlich sein völliger Verlust (alle übrigen Dimylyden). Daneben sind die beiden zwischen dem P_1 und P_4 gelegenen Prämolaren von der Reduktion betroffen: Im Fall der Dimylinae werden sie durch Verschmelzung der Wurzeln in einwurzelige Zähne umgewandelt. Im Fall der durch besonders extreme Spezialisierung ausgezeichneten Cordylodontinae geht zunächst einer der beiden Prämolaren verloren, während der zweite zu einem einwurzeligen Zähnchen umgebildet wird (*Cordylodon*, *Pseudocordylodon*) und in einem weiter fortgeschrittenen Stadium dieser regressiven Entwicklung ebenfalls verlustig geht (*Metacordylodon*).

Im Oberkiefer war die Entwicklung des spezifischen Dimylydengebisses in ganz ähnlicher Weise mit einer Vergrößerung einzelner Zähne verbunden. Der dadurch in Anspruch genommene zusätzliche Raum wurde wiederum zuerst durch die Rückbildung des M^3 kompensiert. Wie früh dieser verloren ging, läßt sich nicht sagen und ebenso nicht, ob er bei *Exoedaenodus* (entsprechend den Verhältnissen im Unterkiefer) noch in rudimentärer Form existierte. Daneben wurde auch der M^2 von dem Reduktionstrend ergriffen und dadurch in der Längsachse verkürzt. Die Ausdehnung des C sup., respektive dessen Vorderwurzel, bedingte eine Verkleinerung des I^2 und vor allem des I^3 . Die drei Prämolaren (bzw. zwei im Falle der

Cordylodontinae) zwischen C sup. und P⁴ sind jedoch gegenüber dem vermuteten talpiden Ausgangsstadium nur relativ wenig reduziert worden. Sie sind entweder noch zweiwurzlig (*Exoedaenodus* und, den P¹ betreffend, auch *Dimyloides*) oder sie besitzen eine einzige Wurzel, die aber noch deutlich erkennen läßt, daß sie aus der Verschmelzung zweier hervorgegangen ist.

Während alle Dimyliden im Oberkiefer noch ein vollständiges Schneidezahngebiß aufweisen (bei *Metacordylodon* nicht gesichert), fehlt ihnen im Unterkiefer einer der drei Incisiven. Er ging wahrscheinlich sehr früh verloren. Innerhalb der Gattungen *Cordylodon* und *Metacordylodon* ist im Zuge der fortschreitenden Spezialisierung noch ein weiterer I abhanden gekommen.

3.2.3 Das Milchgebiß

A. MÜLLER (1967, S. 52) hat für *Plesiodimylus* die Existenz eines funktionierenden Milchgebisses nachgewiesen, wobei er auch auf die mündliche Mitteilung von P. MEIN, Lyon, über entsprechende Funde von La Grive hinweist.

Nachdem die Verwandtschaftsbeziehungen innerhalb der Familie so außerordentlich eng sind, kann wohl für alle Dimyliden die Existenz eines in Funktion tretenden Milchgebisses angenommen werden. Hierin liegt ein einschneidender Unterschied gegenüber den Soriciden und Talpiden und es wird verständlich, weshalb die Dimyliden von allen neueren Autoren mit den Erinaceiden in Beziehung gebracht werden. Wie das Milchgebiß in der Zusammenschau mit den Schädelmerkmalen zu bewerten ist, wird in Punkt 5. diskutiert.

4. Erweiterung der Familien-Diagnose der Dimyliden

Bisher wurde die Familie lediglich anhand von Gebißmerkmalen charakterisiert. Die vorliegenden Untersuchungen ermöglichen erstmals auch die Berücksichtigung von Schädelmerkmalen. Wie in Punkt 3.2.2 behandelt wurde, führt außerdem das Studium der Gebißausbildung verschiedener Dimylidengattungen zu einer Umdeutung der Unterkieferzahnformel. Ihre Konsequenz besteht darin, daß der bisher als C inf. gedeutete Zahn nun als P₁ anzusprechen ist. Die Diagnose der Familie Dimylidae erhält also insgesamt einen weitgehend neuen Inhalt.

Diagnose:

Kleine, ausgestorbene Insectivoren mit folgenden Merkmalen: Jochbögen fehlend. Foramen lacrimale weit außerhalb der Orbita über dem Infraorbitalforamen gelegen. Ansatzfeld des Temporalismuskels bis über die Infraorbitalforamen nach vorn greifend. Funktionierendes Milchgebiß vorhanden. Dritter Molar des Dauergebisses fehlend oder fast völlig reduziert. Eckzahn und P⁴ im Oberkiefer, vorderster und letzter Prämolare im Unterkiefer mehr oder weniger deutlich vergrößert. Oberkiefer mit 3—2, Unterkiefer mit 2—1 Incisiven.

5. Zur systematischen Zuordnung der Dimyliden

Die Dimyliden sind von älteren Autoren teils mit den Talpiden (H. v. MEYER 1846, GAILLARD 1899), teils mit den Erinaceiden (SCHLOSSER, 1888) in Beziehung gebracht worden. In der jüngeren Literatur herrscht allgemein die Zuordnung zu dem engeren Verwandtschaftsbereich der Erinaceiden vor, wobei ENNOUCHI (1930), wel-

cher die Dimylidae ohne Kommentar zu den Soricoidea stellt, die einzige Ausnahme bildet. Damit wurde dieser Familie übereinstimmend von allen Autoren ein Platz innerhalb derjenigen Gruppe eingeräumt, die VAN VALEN (1967) neuerdings als Erinaceota zusammengefaßt hat, und die die Erinaceoidea und Soricoidea umschließt. Die in der vorliegenden Arbeit festgestellten Dimylistenmerkmale ändern nichts an dieser die Ebene der Unterordnung betreffenden Zuordnung. Jedoch sind sie geeignet, das Verhältnis der unterhalb dieser Ebene unterschiedenen Gruppen zueinander neu zu beleuchten.

Die Besprechung der einzelnen Merkmale in den Punkten 3.1 und 3.2 zeigte, daß für eine Annäherung der Dimylisten an die Erinaceiden keine Grundlage besteht. Einer näheren Verwandtschaft mit diesen stehen eine Reihe von Schädelmerkmalen entgegen: Vor allem ist hier das Fehlen der Jochbögen zu nennen, weiterhin sind die Abwesenheit einer postorbitalen Einschnürung des Schädels, das über das Infraorbitalforamen nach vorn ausgedehnte Ansatzfeld des Temporalismuskels und nicht zuletzt die weit nach vorn über den M^2 verschobene Lage des Foramen sphenopalatinum zu erwähnen. Es sind dies Kriterien, welche die Dimylisten zugleich den Talpiden und Soriciden annähern. Als soricide Eigenschaft kann hierbei allerdings nur das Fehlen der Jochbögen gewertet werden, während die anderen Kriterien entweder für beide Familien oder nur für die Talpiden charakteristisch sind.

Auf dieser Basis können nun auch die Gebißmerkmale zu einer weiteren Beurteilung der Verwandtschaftsbeziehungen herangezogen werden: Da die Ähnlichkeiten mit den Erinaceiden als Konvergenzerscheinungen angesehen werden müssen, treten die Beziehungen zu den Talpiden in den Vordergrund. Nachdem die Zahnformel des Unterkiefers korrigiert wurde, ist es jetzt ohne weiteres möglich, das Gebiß der Dimylisten von einem talpiden Vorstadium abzuleiten.

Daneben existieren aber auch Merkmale, die auf eine weitgehende Selbständigkeit der Dimylisten hinweisen: Hier ist z. B. der relativ lange Infraorbitalkanal zu nennen. Außerdem die charakteristische Spezialisierung des Gebisses, die teils mit einer Reduktion (Dimylie), teils mit einer Vergrößerung einzelner Zähne (Exoedaeodontie) verbunden ist. Damit in Zusammenhang steht die robuste Gestaltung der Schnauze.

Eine weitere Eigenschaft, die geeignet ist, das heterogene Merkmalsbild der Dimylisten zu betonen, ist die Ausbildung eines funktionellen Milchgebisses. Es handelt sich dabei um ein Merkmal, das von neueren Autoren (A. MÜLLER 1967, THENIUS 1969) als Kriterium für eine wahrscheinliche nähere Verwandtschaft mit den Erinaceiden angesehen wurde. Angesichts der geringen Übereinstimmung in den Schädelmerkmalen ist es aber nicht gerechtfertigt, daraus eine solche engere Verwandtschaftsbeziehung zu konstruieren.

Die Dimylisten vereinigen also Eigenschaften in sich, die in verschiedene Richtungen weisen und insofern widersprüchlich erscheinen. Eine Deutung ihrer heterogenen Merkmalsstruktur könnte versucht werden, wenn man mit VAN VALEN (1967) von der Annahme ausgeht, daß die Soricoidea und Erinaceoidea eine natürliche, höhere Entwicklungseinheit bilden (Erinaceota VAN VALEN). In diesem Sinn hat sich auch THENIUS (1969) ausgedrückt, indem er die Erinaceiden, Talpiden und Soriciden als Angehörige einer relativ jungen Radiation der Insectivoren bezeichnete. Unter dem Aspekt der gemeinsamen Frühgeschichte müßten die Existenz eines vollständigen Jochbogens und die Ausbildung eines funktionellen Milchgebisses als primitive Ausgangsmerkmale angesehen werden, die erst nach der Aufspaltung in

die Hauptrichtungen der Erinaceoidea und Soricoida innerhalb einiger Familien eine rückschreitende Entwicklung durchgemacht haben. Es erscheint wenig sinnvoll, diese mit Hypothesen belastete Deutung weiter ins Detail zu treiben. Doch kann festgehalten werden, daß das Milchgebiß der Dimylyden in dieser Sicht nicht als spezifisch erinaceides, sondern als indifferentes Merkmal anzusehen ist. Damit sind sie den Soricoida zuzuordnen, innerhalb derer sie eine vermittelnde Stellung zwischen den Soriciden und Talpiden einnehmen. Insgesamt gesehen stehen die Dimylyden dabei der letztgenannten Familie am nächsten.

In allerjüngster Zeit vertritt nun P. M. BUTLER (1972) eine Auffassung zu den Verwandtschaftsbeziehungen der Insectivoren, die gegenüber VAN VALEN und THENIUS sehr stark abweicht: In Anknüpfung an ältere Ansichten (P. M. BUTLER 1956, SABAN 1958, McDOWELL 1958) trennt er die Erinaceiden von den Soriciden bzw. Talpiden durch die Zuteilung zu verschiedenen Unterordnungen sehr nachhaltig ab. Im Sinne seiner Systematik müßten die Dimylyden aufgrund der an ihnen entdeckten Schädelmerkmale zu den Soricomorphen gestellt werden. Unter diese vereinigt BUTLER neben den Soriciden und Talpiden noch sechs weitere Familien (BUTLER 1972 S. 261). Die gleichzeitige Existenz eines funktionellen Milchgebisses bei den Dimylyden neben talpiden und soriciden Merkmalen bleibt aber in diesem Zusammenhang unverständlich.

Will man die systematische Stellung der Dimylyden gemäß den neugefundenen Merkmalen konkretisieren, so ist man also gegenwärtig genötigt, verschiedene Klassifikationssysteme nebeneinander zu stellen. Dies geschieht im folgenden durch die Einordnung der Dimylyden in die Systeme von THENIUS (1969) und P. M. BUTLER (1972).

Stellung der Dimylyden in Anlehnung an die Gliederung der Insectivoren durch THENIUS (1969, S. 628):

- Ordnung: Insectivora
 - Superfamilie: Endotheroidea: ...
 - Leptictioidea: ...
 - Erinaceoidea:
 - Erinaceidae
 - Amphilemuridae
 - Soricoida:
 - Nesophontidae
 - Soricidae
 - Dimylyidae**
 - Talpidae
 - Proscalopidae
 - Apatemyoidea: ...
 - Mixodectoidea: ...
 - Pantolestoidea: ...

Stellung der Dimylyden in Anlehnung an die Gliederung der „Insectivoren“ (Lipotyphla) durch P. M. BUTLER (1972, S. 261):

- Ordnung: Lipotyphla (non Insectivora)
 - Unterordnung: Erinaceomorpha:
 - Adapisoricidae
 - Erinaceidae

Soricomorpha:
 Geolabididae
 Plesiosoricidae
 Solenodontidae
 Micropternodontidae
 Nyctitheriidae
 Talpidae
Dimylidae
 Soricidae
 Nesophontidae
 ? Apternodontidae
 Tenrecomorpha:
 Tenrecidae
 Chrysochloidae
 Chrysochloridae

Die beiden aufgeführten Systeme sind nicht nur die gegenwärtig jüngsten Gliederungsversuche. Bei aller Verschiedenheit stimmen sie auch in dem Punkt überein, daß die Talpiden nicht mit den Erinaceiden in engeren Zusammenhang gebracht werden, wie dies z. B. McDOWELL (1958) und VAN VALEN (1967) taten. Die Abtrennung der Talpiden von den Erinacomorpha (bzw. Erinaceoidea) ist durch die Zwischenstellung, die die Dimyliden gegenüber den Talpiden und Soriciden einnehmen, zu fordern.

Während die Erinacomorpha bzw. Erinaceoidea nach der Abtrennung der Dimyliden eine sehr einheitliche Gruppe bilden, nehmen die Soricomorpha bzw. Soricoidea weiter an Heterogenität zu. Insbesondere gilt dies für das Klassifikationssystem BUTLERS. Es ist zu vermuten, daß weitere taxonomische Fortschritte in verschiedenen Punkten zu neuen Gruppierungen führen werden. An der Feststellung, daß die Dimyliden den Talpiden und Soriciden näherstehen als den Erinaceiden, kann sich dadurch wenig ändern.

Literatur

- BUTLER, P. M.: The skull of *Ictops* and the classification of the Insectivora. — Proc. Zool. Soc. London, Ser. B, 126, 453—481, 8 Abb., London 1956.
- BUTLER, P. M.: The problem of insectivore classification. — Studies in Vertebr. Evolution (ed. by K. A. JOYSEY & T. S. KEMP), 253—265, 6 Abb., Edinburgh (OLIVER & BOYD) 1972.
- ENNOUCHI, E.: Contribution à l'étude de la faune du Tortonien de La Grive-St.-Alban (Isère). Thèse Fac. Sc. Paris, Sér. A. Nr. 1266, 1—135, 6 Taf., 4 Abb., Paris 1930.
- GAILLARD, C.: Mammifères Miocènes nouveaux ou peu connus de La Grive-St.-Alban (Isère). — Arch. Mus. Hist. Nat. Lyon, 7, 1—79, 3 Taf., 32 Abb., Lyon 1899.
- HÜRZELER, J.: Beiträge zur Kenntnis der Dimylidae. — Schweiz. Pal. Abh., 65, 1—44, 45 Abb., Basel 1944.
- HUGUENEY, M.: Les talpidés (Mammalia, Insectivora) de Coderet-Bransat (Allier) et l'évolution de cette famille au cours de l'Oligocène supérieur et du Miocène inférieur d'Europe. — Docum. Lab. Géol. Fac. Sci. Lyon, N° 50, 1—81, 43 Abb., Lyon 1972.
- McDOWELL, S. B.: The Greater Antillean insectivores. — Bull. Amer. Mus. Nat. Hist., 115, 115—214, 46 Abb., New York 1958.
- MEYER, H. V.: Mitteilung an Prof. Bronn. — N. Jb. Mineral. etc., 462—476, Stuttgart 1846.

- MÜLLER, A.: Die Geschichte der Familie Dimylidae (Insectivora, Mamm.) auf Grund der Funde aus tertiären Spaltenfüllungen Süddeutschlands. — Abh. Bayer. Akad. Wiss. Math.-naturw. Kl. N. F. 129, 1—93, 3 Taf., 27 Abb., München 1967.
- SABAN, R.: Insectivora. — in PIVETEAU, J., *Traité de paléontologie*, Paris Masson et Cie., 6, Teil 2, 822—909, 38 Abb., Paris 1958.
- SCHLOSSER, M.: Die Affen, Lemuren, Chiropteren, Insectivoren, Marsupialier, Creodonten und Carnivoren des europäischen Tertiärs u. deren Beziehungen zu ihren lebenden und fossilen außereuropäischen Verwandten. — *Beitr. Pal. Öster.-Ungarn*, 6, 1—224, 9 Taf., Wien 1888.
- SIMPSON, G. G.: The principles of classification and a classification of mammals. — *Bull. Amer. Mus. Nat. Hist.*, 85, 1—350, New York 1945.
- THENIUS, E.: Phylogenie der Mammalia-Stammesgeschichte der Säugetiere (einschließlich der Hominiden). — 1—722, 715 Abb., Berlin 1969.
- VAN VALEN, L.: New Paleocene insectivores and insectivore classification. — *Bull. Amer. Mus. Nat. Hist.*, 135, Teil 5, 219—284, 7 Abb., New York 1967.
- VIRET, J.: Découverte de *Metacordylodon Schlosseri* à La Grive-St.-Alban. — *Bull. Soc. Hist. Nat. Toulouse*, 61 (2), 253—257, 3 Abb., Toulouse 1931.

Tafelerläuterungen

Tafel 5

- Fig. 1: Schädelfragment von *Dimyloides stehlini* HÜRZELER, Ehrenstein 4, 1971 XXV 96; von occlusal gesehen. 6,5-fach vergrößert.
- Fig. 2: Das gleiche Schädelfragment wie in Fig. 1 von der linken Seite gesehen. Fs = Foramen sphenopalatinum. 6,5-fach vergrößert.
- Fig. 3: Das gleiche Schädelfragment wie in Fig. 1 und 2 von oben gesehen. Fs = Foramen sphenopalatinum. 6,5-fach vergrößert.